

**Zeitschrift:** Elemente der Mathematik  
**Herausgeber:** Schweizerische Mathematische Gesellschaft  
**Band:** 14 (1959)  
**Heft:** 6

**Artikel:** Näherungskonstruktionen für den Kreisumfang  
**Autor:** Finsler, P.  
**DOI:** <https://doi.org/10.5169/seals-20324>

#### Nutzungsbedingungen

Die ETH-Bibliothek ist die Anbieterin der digitalisierten Zeitschriften auf E-Periodica. Sie besitzt keine Urheberrechte an den Zeitschriften und ist nicht verantwortlich für deren Inhalte. Die Rechte liegen in der Regel bei den Herausgebern beziehungsweise den externen Rechteinhabern. Das Veröffentlichen von Bildern in Print- und Online-Publikationen sowie auf Social Media-Kanälen oder Webseiten ist nur mit vorheriger Genehmigung der Rechteinhaber erlaubt. [Mehr erfahren](#)

#### Conditions d'utilisation

L'ETH Library est le fournisseur des revues numérisées. Elle ne détient aucun droit d'auteur sur les revues et n'est pas responsable de leur contenu. En règle générale, les droits sont détenus par les éditeurs ou les détenteurs de droits externes. La reproduction d'images dans des publications imprimées ou en ligne ainsi que sur des canaux de médias sociaux ou des sites web n'est autorisée qu'avec l'accord préalable des détenteurs des droits. [En savoir plus](#)

#### Terms of use

The ETH Library is the provider of the digitised journals. It does not own any copyrights to the journals and is not responsible for their content. The rights usually lie with the publishers or the external rights holders. Publishing images in print and online publications, as well as on social media channels or websites, is only permitted with the prior consent of the rights holders. [Find out more](#)

**Download PDF:** 28.01.2026

**ETH-Bibliothek Zürich, E-Periodica, <https://www.e-periodica.ch>**

# ELEMENTE DER MATHEMATIK

Revue de mathématiques élémentaires — Rivista di matematica elementare

*Zeitschrift zur Pflege der Mathematik  
und zur Förderung des mathematisch-physikalischen Unterrichts  
Organ für den Verein Schweizerischer Mathematik- und Physiklehrer*

Publiziert mit Unterstützung des Schweizerischen Nationalfonds  
zur Förderung der wissenschaftlichen Forschung

---

El. Math.      Band XIV      Nr. 6      Seiten 121–144      Basel, 10. November 1959

---

## Näherungskonstruktionen für den Kreisumfang

Die bekannteste praktisch brauchbare Näherungskonstruktion für den *halben* Kreisumfang ist wohl die von KOCHANSKI, welche mit dem Lineal und nur *einer* Zirkelöffnung auskommt [1]<sup>1)</sup>. Dieser letztere Vorteil wird jedoch hinfällig, wenn man den ganzen Kreisumfang sucht oder ihn als Abwicklung auf einer Tangente vom Berührungsrand aus abtragen will. Der relative Fehler der Konstruktion ist ungefähr 1/53000, also praktisch hinreichend klein.

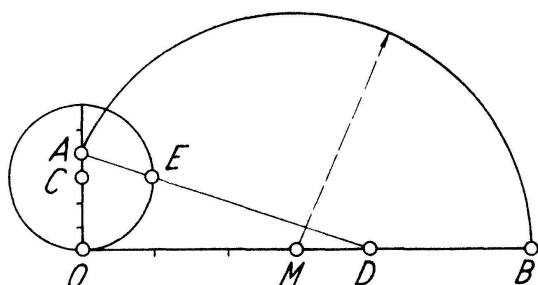
Für den *ganzen* Kreisumfang gibt es eine Konstruktion, welche zwar theoretisch etwa den doppelten relativen Fehler liefert, praktisch aber (wegen besserer Schnitte) eher genauer sein dürfte als jene [2]. Zwischen andern Konstruktionen versteckt, ist sie wohl nicht viel beachtet worden; etwas modifiziert, ist sie aber sehr bequem, und zudem lässt sie sich, wie hier gezeigt werden soll, mit einer kleinen Zusatzkonstruktion theoretisch noch so verschärfen, dass der relative Fehler weniger als ein Milliardstel beträgt.

Die Konstruktion besteht zunächst in folgendem:

Auf der Tangente des Kreises vom Radius  $r$  trage man vom Berührungsrand  $O$  aus die Strecke  $OM = 3r$  und auf dem dazu senkrechten Kreisdurchmesser die Strecke  $OA = \frac{4}{3}r$  ab. Verlängert man  $OM$  um  $MB = MA$ , so ist  $OB$  genähert gleich der Abwicklung des Kreises.

Den Punkt  $A$  kann man konstruieren, indem man, wenn  $C$  den Mittelpunkt des Kreises bedeutet, auf der Tangente  $OD = 4r$ , also  $MD = r$  macht und  $DA \parallel MC$  zieht. Diese Parallele trifft übrigens den Kreis in einem Punkt  $E$ , der von der Tangente den Abstand  $r$  besitzt.

Einfacher ist es jedoch, wenn man den Radius  $r$  des Kreises gleich 3 Einheiten wählt und zu  $OC$  noch eine Einheit  $CA$  hinzufügt. Wenn man insbesondere auf einem karierten Blatt oder einer karierten Tafel, also kurz in einer Gitterebene zeichnet und den Radius  $r$  gleich 3 Gittereinheiten wählt, so sind  $M$  und  $A$  leicht zu



<sup>1)</sup> Die Ziffern in eckigen Klammern verweisen auf das Literaturverzeichnis, Seite 123.

findende Gitterpunkte, und die ganze Konstruktion beschränkt sich auf das Ziehen eines einzigen Kreisbogens um  $M$  durch  $A$  nach  $B$ .

Der relative Fehler der Konstruktion ist sehr nahe  $1/27000$ . Bei einem Kreisumfang von 30 cm ist also der Fehler  $1/90$  mm, bei 3 m Umfang  $1/9$  mm, er ist also weder auf dem Blatt noch auf der Tafel bemerkbar. Da man zudem nur genau einen senkrechten Schnitt erhält, lässt bei hinreichend genauer Gitterebene auch die praktische Genauigkeit nichts zu wünschen übrig.

Die Konstruktion lässt sich zum Beispiel mit Vorteil verwenden, um für eine auf ihrem Zylinder gegebene Schraubenlinie die Abwickelung und damit auch die Länge und den Neigungswinkel zu erhalten. Auch beim Zeichnen von Zykloiden leistet sie gute Dienste.

Der aus der Konstruktion sich ergebende Näherungswert

$$x = \frac{3}{2} + \frac{1}{6} \sqrt{97} = 3,141476 \dots$$

für  $\pi = 3,141593 \dots$  genügt der Gleichung

$$9x^2 - 27x - 4 = 0.$$

Bei CAVALLARO findet sich diese Näherung nach SCHOR, jedoch *ohne* die hier doch sehr wesentliche *Konstruktion* [3, 4]<sup>2)</sup>.

Wenn man die Strecke  $OB$  noch um  $1/27000$  vergrößert, so ist der verbleibende relative Fehler *kleiner als ein Milliardstel*. Zeichnerisch geht dies sehr einfach, da man  $OB$  nur dreimal durch 30 zu teilen und das Resultat hinzuzufügen hat.

In einer Gitterebene wird man etwa so vorgehen: Man wähle jetzt den Radius  $r$  des Kreises gleich 6 Gittereinheiten.  $OM = 3r$  liege auf der  $x$ -Achse,  $OC = r$  auf der  $y$ -Achse. Wie vorher sei  $OA = 4/3r$  und  $OB = OM + MA$ . Nun seien  $E_x$  und  $E_y$  die Einheitspunkte des Gitters auf der  $x$ - und  $y$ -Achse, und auf der  $y$ -Achse sei  $OF = 5r$ . Zieht man jetzt  $E_y X \parallel FB$ ,  $XY \perp FE_x$ ,  $YZ \perp XY$ , wobei  $X$  auf der positiven  $x$ -Achse,  $Y$  auf der negativen  $y$ -Achse,  $Z$  auf der negativen  $x$ -Achse liegen sollen, so ist  $ZB$  sehr nahe gleich dem gesuchten Kreisumfang. Ausser dem Abzählen von Gitterpunkten braucht man also nur einen Kreisbogen, eine Parallele und zwei Lote.

Aus dem früheren Wert  $x = 3,14147630030\dots$  ergibt sich jetzt

$$x(1 + 30^{-3}) = 3,14159265127\dots$$

anstelle von  $\pi = 3,14159265359\dots$ , also eine Differenz von  $0,0000000023\dots$ . Für den Erdumfang gerechnet, beträgt der Fehler knapp 3 cm.

Noch genauer, aber erheblich umständlicher ist eine Konstruktion von RAMANUJAN [5]; sie liefert ungefähr den halben relativen Fehler, nämlich eine Differenz von  $0,0000000010\dots$  gegenüber  $\pi$ . Man kann sich fragen, wie RAMANUJAN, der einige Näherungen für  $\pi$  systematisch hergeleitet hat, zu diesem Resultat gekommen ist. Er selbst bemerkt dazu: ‘This value was obtained empirically, and it has no

---

<sup>2)</sup> Nach dem Referat im Jb. Fortschr. Math. 53 scheint auch die mir nicht zugängliche Note von SCHOR keine Konstruktion zu enthalten.

connection with the preceding theory.' Es ist wohl anzunehmen, dass er  $\pi^4 = 97,409091034\dots$  berechnet und gesehen hat, dass sich dies sehr nahe durch  $97,409090909\dots = 2143/22$  darstellen lässt. Weiter ergibt sich  $2143 = 22 \cdot 9^2 + 19^2$  und damit der von RAMANUJAN angegebene und für seine Konstruktion benutzte Näherungswert  $(9^2 + 19^2/22)^{1/4}$  für  $\pi$ . In anderer Form findet sich diese Näherung bei REICHENBÄCHER [6].

Eine von CORDILHA [7] angegebene Konstruktion benötigt in einer Gitterebene ebenfalls nur einen Kreisbogen, wenn man den Radius  $r$  des gegebenen Kreises gleich 4 Gittereinheiten wählt. Ist  $OM$  auf der  $x$ -Achse gleich  $2\frac{1}{2}r$  und  $A$  der Punkt mit den Koordinaten  $-\frac{5}{4}r, \frac{1}{2}r$ , so liefert  $OM + MA$  den Kreisumfang mit einem relativen Fehler von weniger als  $1/5000000$ .

Auch eine von VIETA [8] benutzte Näherung lässt sich in dieser Weise erhalten, wenn man den Radius  $r$  gleich 5 Gittereinheiten wählt. Es wird jetzt  $OM = 3\frac{3}{5}r$  gesetzt, und die Koordinaten von  $A$  sind  $\frac{6}{5}r, \frac{6}{5}r$ .  $OM + MA$  ist dann der Kreisumfang mit einem relativen Fehler von weniger als  $1/65000$ . Mit  $OM = \frac{9}{5}r$  und  $A = (\frac{3}{5}r, \frac{3}{5}r)$  ergibt sich hier auch der halbe Kreisumfang aus den Gitterpunkten mit einem Kreisbogen.

Da aber bei diesen Konstruktionen der Punkt  $A$  nicht auf der  $y$ -Achse liegt, ist die vorher angegebene doch bequemer und einfacher zu merken. P. FINSLER

#### LITERATURVERZEICHNIS

- [1] TH. VAHLEN, *Konstruktionen und Approximationen* (B. G. Teubner, Leipzig und Berlin 1911), S. 310.
- [2] P. FINSLER, *Einige elementargeometrische Näherungskonstruktionen*, Comment. math. helv. 10, 250 (1938).
- [3] V. G. CAVALLARO, G. Mat. Battaglini 72, 86 (1934).
- [4] C. SCHOR, Rassegna Mat. Fis. 5, 63 (1927).
- [5] S. RAMANUJAN, Quart. J. Math. 45 (1914); *Collected Papers of S. Ramanujan* (Cambridge 1927), S. 35f.
- [6] E. REICHENBÄCHER, Hoffm. Z. 32, 275 (1902) (nach VAHLEN, S. 211).
- [7] J. CORDILHA, vgl. [2], S. 249.
- [8] *Enzyklopädie der mathematischen Wissenschaften*, III AB 9 (B. G. Teubner, Leipzig 1914–1931) S. 1117.

## Einblick in den Aufbau und die Funktionsweise moderner Rechenautomaten<sup>1)</sup>

Unter Rechenautomaten (RA) verstehen wir Rechengeräte, welche nicht nur einzelne Operationen, wie Addition zweier Zahlen und ähnliches, sondern längere Operationsketten selbsttätig abwickeln, nachdem die gegebenen Zahlen und das Rechenprogramm in das Gerät eingeführt worden sind und der Startknopf betätigt wird. Die Resultate werden entweder in Form von Zahltabellen oder von graphischen Darstellungen geliefert.

<sup>1)</sup> Der Artikel ist eine auf Wunsch der Redaktion entstandene Bearbeitung eines in die Materie einführenden Vortrages des Verfassers in der Naturwissenschaftlichen Gesellschaft Winterthur.